

Национальный исследовательский ядерный университет «МИФИ»

ОТЧЕТ О НАУЧНО-ИССЛЕДОВАТЕЛЬСКОЙ РАБОТЕ

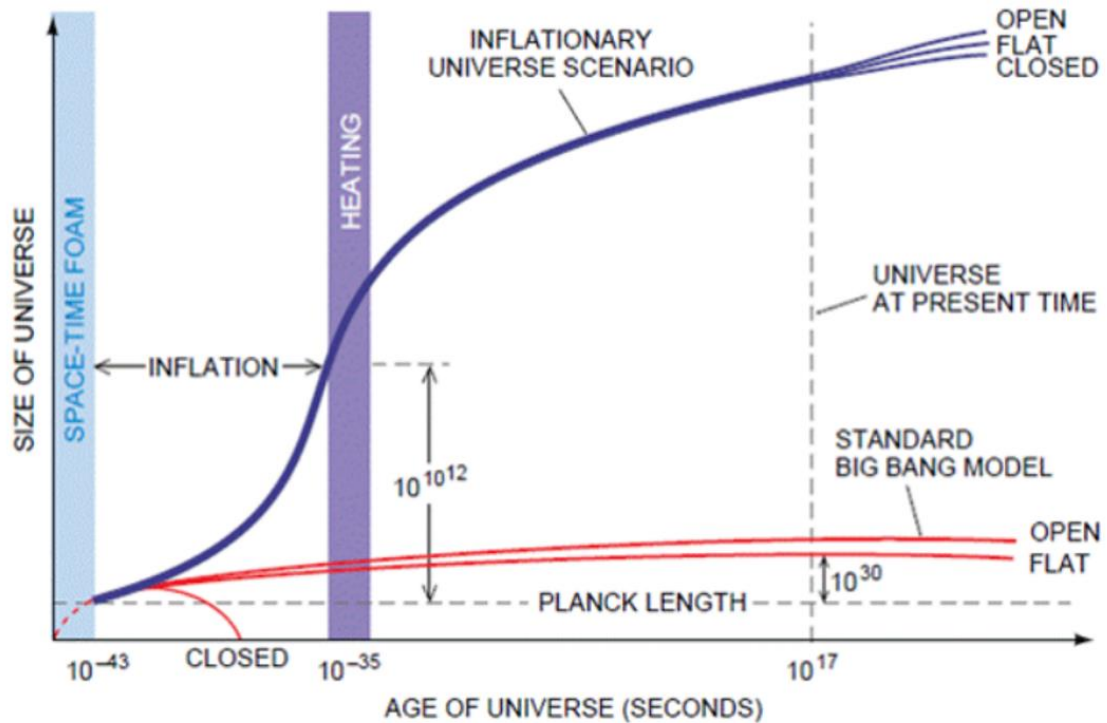
# ПРОЯВЛЕНИЕ АКСИОНОПОДОБНЫХ МОДЕЛЕЙ

НАУЧНЫЙ РУКОВОДИТЕЛЬ: Д. Ф. –М. Н., ПРОФЕССОР М. Ю. ХЛОПОВ

ВЫПОЛНИЛ: СТУДЕНТ ГРУППЫ Б19 -102 УЛЬМАСКУЛОВЭРИК МАРЛОВИЧ

Москва 2023

# ИНФЛЯЦИОННАЯ МОДЕЛЬ



Активация Windows

Инфляционная теория — один из главных кандидатов на роль теории, описывающей эволюцию ранней Вселенной.

# Инфлатон

$$S = \int d^4x \sqrt{-g} \left( \frac{1}{2} g^{\mu\nu} \partial_\mu \phi \partial_\nu \phi - V(\phi) \right)$$

$$H^2 = \frac{8\pi G \rho}{3M_{pl}^2} = \frac{8\pi G}{3M_{pl}^2} \left( \frac{1}{2} \left( \dot{\phi} \right)^2 + V(\phi) \right)$$

$$\ddot{\phi} + 3H\dot{\phi} = -\frac{\partial V}{\partial \phi}$$

$$H\dot{\phi} \sim V'$$

$$\epsilon_V = \frac{M_{pl}^2}{16\pi} \left( \frac{V'}{V} \right)^2 \ll 1$$

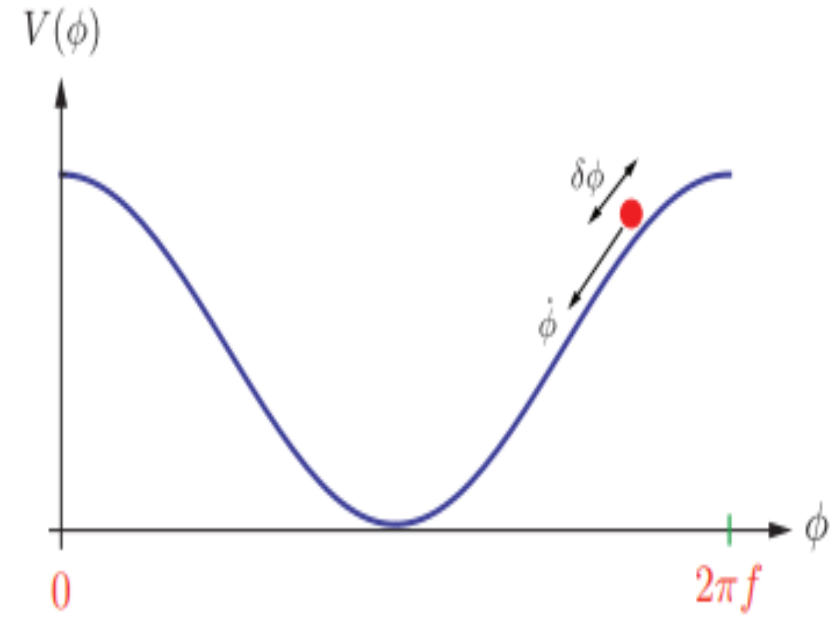
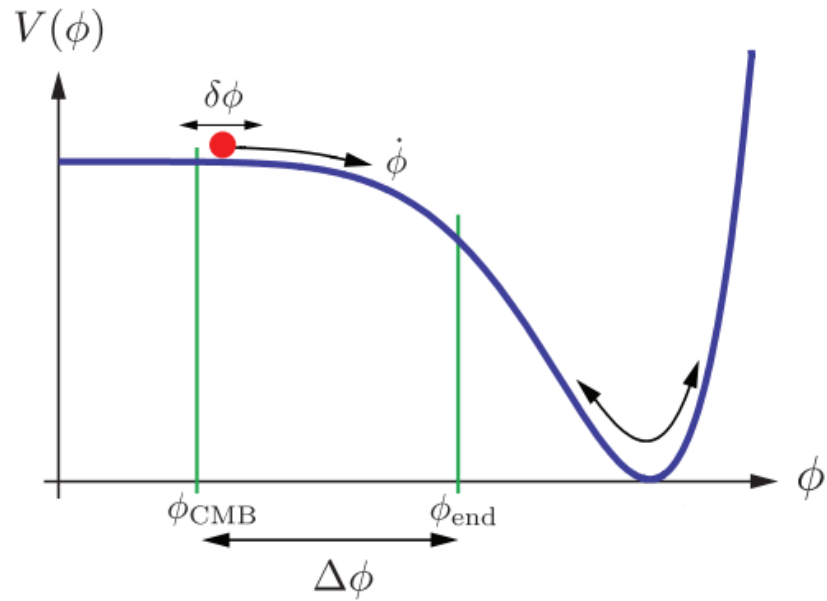
$$\rho = \frac{1}{2} \left( \dot{\phi} \right)^2 + V(\phi)$$

$$\left( \dot{\phi} \right)^2 \ll V(\phi)$$

$$\eta = \frac{M_{pl}^2}{8\pi} \frac{V''}{V} \ll 1$$

$$p = \frac{1}{2} \left( \dot{\phi} \right)^2 - V(\phi)$$

# Примеры потенциалов инфлатона



## АКСИОН

$$\Delta L = \frac{\alpha_s}{8\pi} \theta G_{\mu\nu} \tilde{G}_{\mu\nu}$$

$$d_n \sim \theta 10^{-16} \cdot e \cdot \text{см}$$

$$d_n \lesssim 3 \cdot 10^{-26} \cdot e \cdot \text{см}$$

$$|\theta| \lesssim 0.3 \cdot 10^{-9}$$

## Рассматриваемая модель

$$V(a) = -m_\pi^2 f_\pi^2 \sqrt{1 - \frac{4m_u m_d}{(m_u + m_d)^2} \sin^2 \left( \frac{a}{2f_a} \right)}$$

Рассматривается модель, где аксион относится к скрытому сектору физики элементарных частиц. В данной модели он выполняет роль инфлатона, обеспечивающего инфляцию. В скрытом секторе присутствуют аналоги  $u$  и  $d$  кварков, которые не имеют зарядов, характерных  $u$  и  $d$  кваркам стандартной модели.

# Рассматриваемая модель

$$n_s = 1 - 6\epsilon + 2\eta$$

$$r = 16\epsilon$$

где:

$$\epsilon = \frac{M_p^2}{2} \left( \frac{V_a(a)}{V(a)} \right)^2 = \frac{M_p^2}{2} \left( \frac{1}{2f_a} \right)^2 \left( \frac{\tilde{V}_a(\tilde{a})}{\tilde{V}(\tilde{a})} \right)^2 < 1$$

$$\eta = M_p^2 \frac{V_{aa}}{V} = M_p^2 \left( \frac{1}{2f_a} \right)^2 \frac{\tilde{V}_{\tilde{a}\tilde{a}}}{\tilde{V}}$$

$$\tilde{V}_a = \frac{2R}{(R+1)^2} \frac{\sin(2\tilde{a})}{\sqrt{1 - \frac{4R}{(R+1)^2} \sin^2 \tilde{a}}}$$

$$\begin{aligned} \tilde{V}_{\tilde{a}\tilde{a}} &= \frac{2R}{(R+1)^2} \frac{2\cos(2\tilde{a})\sqrt{-//--} + \frac{2R}{(R+1)^2} \frac{\sin(2\tilde{a})\sin(2\tilde{a})}{\sqrt{-//--}}}{1 - \frac{4R}{(R+1)^2} \sin^2 \tilde{a}} = \\ &= \frac{2R}{(R+1)^2} \frac{2\cos(2\tilde{a}) - \frac{8R}{(R+1)^2} \cos(2\tilde{a})\sin^2 \tilde{a} + \frac{2R}{(R+1)^2} \sin^2(2\tilde{a})}{\left(1 - \frac{4R}{(R+1)^2} \sin^2 \tilde{a}\right)^{\frac{3}{2}}} = \\ &= \frac{2R}{(R+1)^2} \frac{2\cos(2\tilde{a}) - \frac{4R}{(R+1)^2} (2\cos(2\tilde{a})\sin^2 \tilde{a} + \frac{1}{2} \sin^2(2\tilde{a}))}{\left(1 - \frac{4R}{(R+1)^2} \sin^2 \tilde{a}\right)^{\frac{3}{2}}} = \\ &= \frac{2R}{(R+1)^2} \frac{2\cos(2\tilde{a}) - \frac{4R}{(R+1)^2} (\cos(2\tilde{a}) - \cos^2(2\tilde{a}) + \frac{1}{2} \sin^2(2\tilde{a}))}{\left(1 - \frac{4R}{(R+1)^2} \sin^2 \tilde{a}\right)^{\frac{3}{2}}} = \\ &= \frac{2R}{(R+1)^2} \frac{2\cos(2\tilde{a}) + \frac{2R}{(R+1)^2} (1 - \cos(2\tilde{a}))^2}{\left(1 - \frac{4R}{(R+1)^2} \sin^2 \tilde{a}\right)^{\frac{3}{2}}} \end{aligned}$$

## Рассматриваемая модель

$$N(a) = \int_{a_{end}}^a \frac{d(a')}{\sqrt{2\epsilon}}$$

$$N_{tot} = \frac{N_0}{4} \ln \frac{\sin^2 \tilde{a}_{cmd} (1 - \sin^2 \tilde{a}_{cmd})^{B_0-1}}{\sin^2 \tilde{a}_{end} (1 - \sin^2 \tilde{a}_{end})^{B_0-1}} \approx 60$$

$$\left\| \text{Определим коэффициенты как } B_0 = \frac{4R}{(R+1)^2}; N_0 = \frac{4f_a}{B_0 M_{pl}} \right\|$$

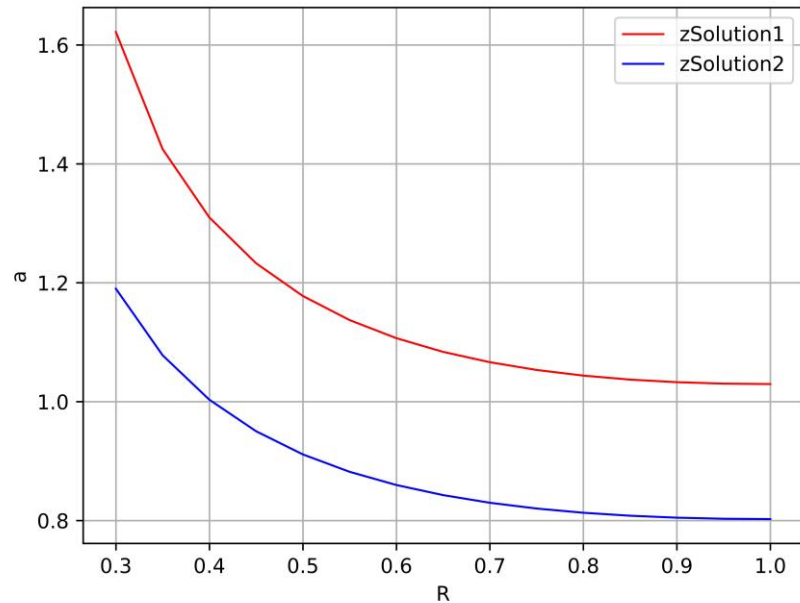
$$\left\{ \begin{array}{l} n_s|_{cmb} = 1 - 6\epsilon_{cmb} + 2\eta_{cmb} \\ r_{cmb} = 16\epsilon_{cmb} \\ \frac{N_0}{4} \ln \frac{\sin^2 \tilde{a}_{cmd} (1 - \sin^2 \tilde{a}_{cmd})^{B_0-1}}{\sin^2 \tilde{a}_{end} (1 - \sin^2 \tilde{a}_{end})^{B_0-1}} \approx 60 \\ \frac{M_{pl}^2}{2f_a^2} \frac{R^2}{(R+1)^4} \frac{\sin^2 2\tilde{a}_{end}}{\left(1 - \frac{4R}{(R+1)^2} \sin^2 \tilde{a}_{end}\right)^2} = 1 \end{array} \right.$$



# Рассматриваемая модель

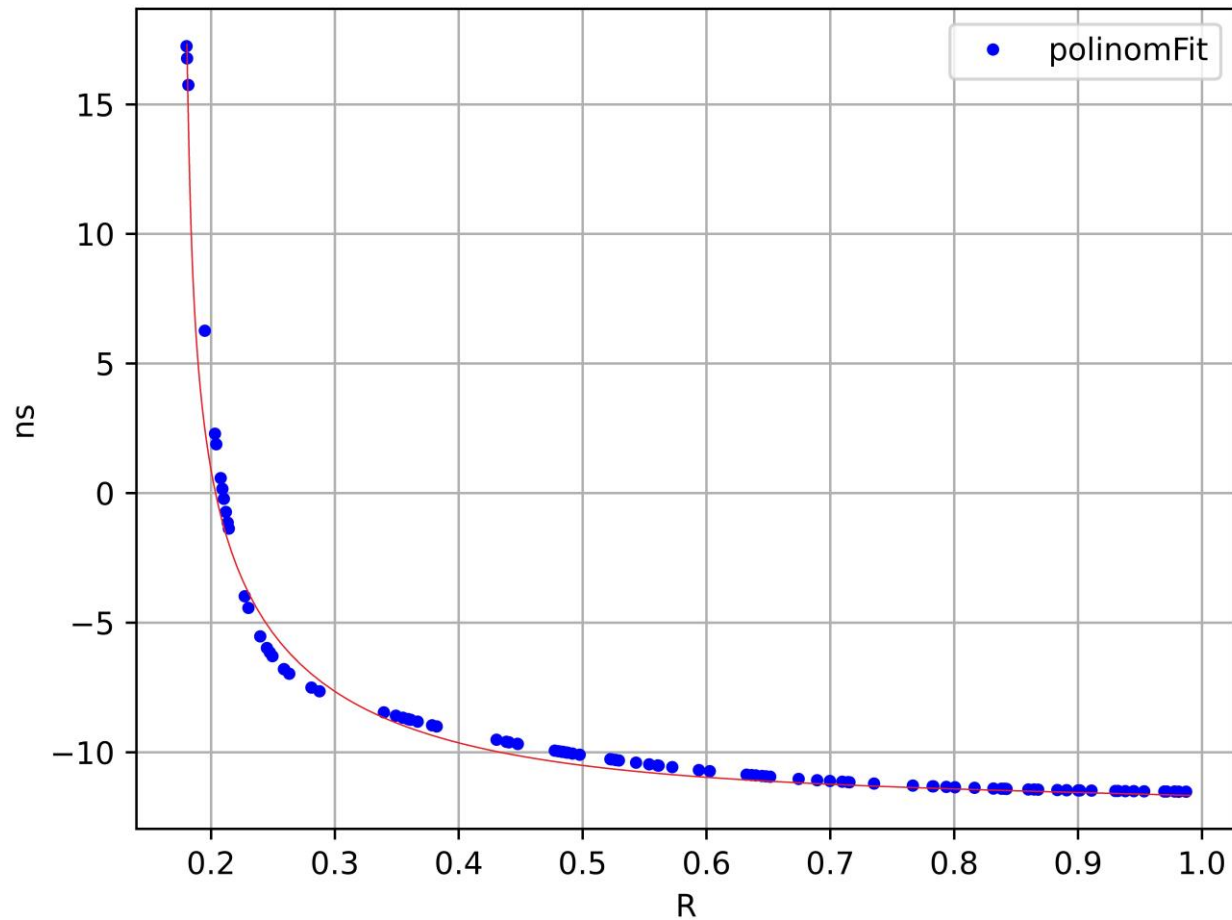
Условие окончания инфляции, получаем уравнение на  $\tilde{a}_{end}$  :

$$\begin{aligned}\epsilon(\tilde{a}_{end}) = 1 &= \frac{M_{pl}^2}{2f_a^2} \frac{R^2}{(R+1)^4} \frac{\sin^2 2\tilde{a}_{end}}{\left(1 - \frac{4R}{(R+1)^2} \sin^2 \tilde{a}_{end}\right)^2} = \frac{1}{2N_0^2} \frac{\sin^2 2\tilde{a}_{end}}{(1 - B_0 \sin^2 \tilde{a}_{end})^2} = \\ &= \left| \left| \text{Переопределим аргумент: } \sin^2 \tilde{a}_{end} = u \right| \right| = \\ &= \frac{1}{2N_0^2} \frac{4u(1-u)}{(1 - B_0 u)^2}\end{aligned}$$



# Рассматриваемая модель

$n_s = 0.9647 \pm 0.0043$  - Экспериментальное ограничение



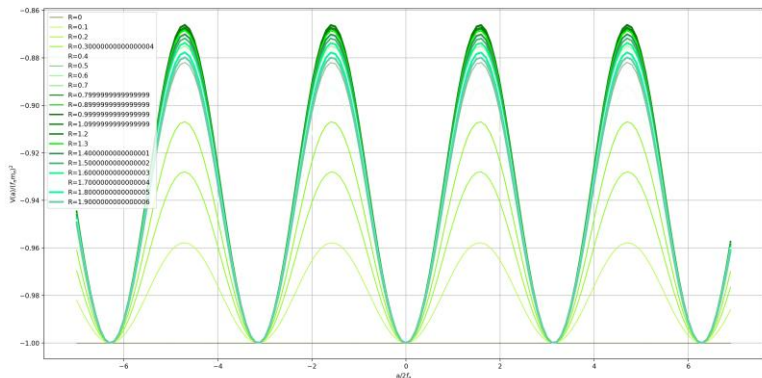
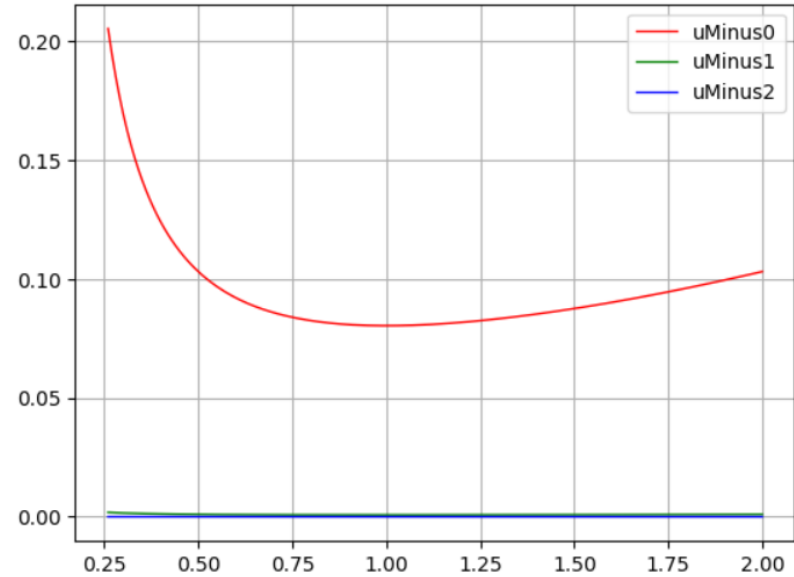
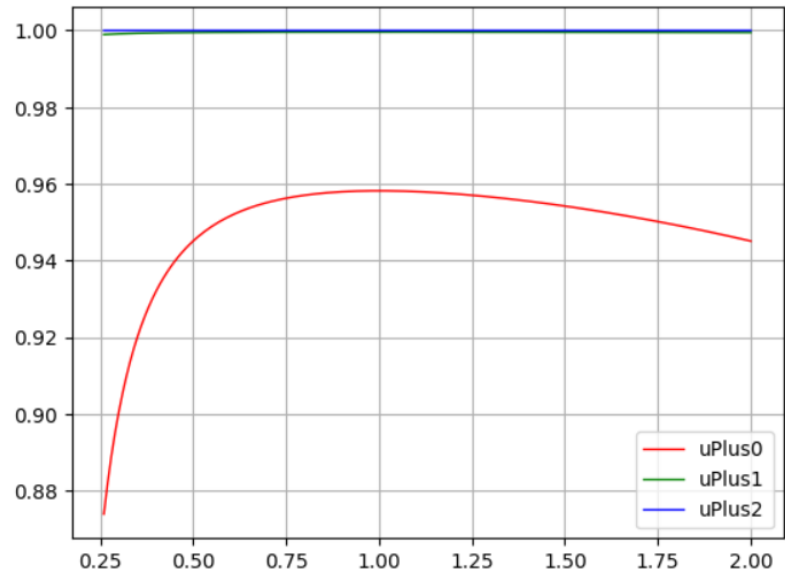
$r \approx 0.00154318$

## *Заключение*

- В ходе работы проведены соответствующие расчеты и получена оценка на величину, характеризующую первичный фон гравитационных волн.
- В дальнейшем планируется уточнение полученных данных за счет лучшей аппроксимации данных
- Рассмотреть случаи с различным параметром модели  $f_a$

Спасибо за внимание!

# Резервный слайд



$$B_0 = \frac{4R}{(R+1)^2} \geq \frac{2\sqrt{2}f_a}{M_{pl}} \left( \sqrt{\left( \left( \frac{4\sqrt{2}f_a}{M_{pl}} \right)^2 + 4 \right)} - \frac{4\sqrt{2}f_a}{M_{pl}} \right)$$